

原著論文

ベラ科魚類 *Bodianus opercularis* アカシマタキベラ (新称) の
標本にもとづく太平洋初記録および分布記録の再検討First Specimen-based Records of the Red-striped Hogfish (Perciformes:
Labridae), *Bodianus opercularis*, from the Pacific Ocean, with
an Assessment of the Species' Distributional Records和田英敏^{1),2)}・瀬能 宏²⁾・森下 修³⁾Hidetoshi WADA^{1),2)}, Hiroshi SENOU²⁾ & Osamu MORISHITA³⁾

Abstract. Two specimens (20.2 and 44.5 mm standard length) of a hogfish species *Bodianus opercularis* (Guichenot, 1847) (Labridae), previously considered endemic to the Indian Ocean including the Red and Arabian Seas, were collected from the Ogasawara Islands (Japan), West Pacific. The specimens, herein described in detail, represent the first specimen-based records of the species from the Pacific Ocean. A new standard Japanese name “Akashimatakibera” is proposed for the species, based on one of the specimens (KPM-NI 7936, 45.5 mm standard length). During this study, the previous distribution records of *B. opercularis* and *Bodianus neopercularis* Gomon, 2006, the latter considered an allopatric Western Pacific congener of *B. opercularis*, were re-assessed by re-identifying the individuals listed as previous records. *Bodianus opercularis* was found to be widely distributed in the following Indo-West Pacific locations: Red Sea, Arabian Sea, Kenya, Comoros, Madagascar, western Mascarene and Christmas Island (Indian Ocean); southern Japan and Marshall Islands (West Pacific Ocean). Reliable records of *B. neopercularis* were confirmed from only the Marshall Islands, West Pacific.

Key words: *Bodianus neopercularis*, coloration, description, distribution, ontogenetic changings

緒 言

ベラ科タキベラ属 (Labridae: *Bodianus* Bloch, 1790) は三大洋の温帯-熱帯域から 45 有効種が知られる海水魚であり (山川, 1984; Gomon, 2006; Randall & Victor, 2013; Gomon & Walsh, 2016)、背鰭が 12 棘 10-11 軟条および臀鰭が 3 棘 11-12 軟条、尾鰭基底までの側線有孔鱗数が 29-48、腹椎骨数が 11、尾椎骨数が 17、成魚において神経頭蓋の背面前方の正中線上に明瞭な篩骨前頭骨

陥凹 (ethmoid-frontal depression) がみられ、その後方が発達した前頭骨棚 (frontal shelf) におおわれる (Gomon, 1997: fig. 17)、歯骨腹面前方の輪郭が直線的かつ急角度で、縫合部に指状嵌合 (interdigitating joint) をもつ (Gomon, 1997: fig. 26b) などの形態的特徴をもつことで同科他属から識別される (Gomon, 1997, 2006)。このうち *Bodianus opercularis* (Guichenot, 1847) はこれまでに紅海やアラビア海を含むインド洋の広域から記録されており、主に水深 50 m 前後の比較的深い

¹⁾ 東京大学総合研究博物館
〒113-0033 東京都文京区本郷 7 丁目 3-1
The University Museum, The University of Tokyo,
7-3-1Hongo, Bunkyo-ku, Tokyo 113-0033, Japan
gd120300@gmail.com

²⁾ 神奈川県立生命の星・地球博物館
〒250-0031 神奈川県小田原市入生田 499

Kanagawa Prefectural Museum of Natural History,
499 Iryuda, Odawara, Kanagawa 250-0031, Japan

³⁾ ウラシマンダイビングサービス 小笠原
〒100-2101 東京都小笠原村父島東町
Urashiman Diving Service Ogasawara, Higashimachi,
Chichijima, Ogasawara, 100-0031, Japan

岩礁域に生息する (Debelius, 1998; Gomon, 2006; Allen & Erdmann, 2012; Fricke et al., 2018)。

2001年と2002年に、小笠原諸島からそれぞれ1個体の *B. opercularis* が得られた。これらの標本は太平洋における本種の標本に基づく初記録となるため、記載とともにここに報告する。また *B. opercularis* と、本種と形態の特徴のよく似る同属他種の *Bodianus neopercularis* Gomon, 2006 の分布記録を整理した結果、前者がインド-西太平洋に広く分布する一方で、後者の分布がマーシャル諸島に限られることが明らかになったため、併せて報告する。

材料と方法

標本の計数・計測方法は Hubbs & Lagler (1947) と Gomon (1997, 2006) に従い、計数・計測値は左体側から求めた。なお、鰓耙は本研究において観察した標本では十分に発達していなかったために計数していない。計測はデジタルノギスを用いて10分の1mmの精度で行った。水中写真と飼育個体の全長は、目視によるおおよその値である。標準体長 (standard length) および全長 (total length) は、それぞれ SL および TL と表記した。*Bodianus opercularis* と *B. neopercularis* の識別に用いた各部の模様の特徴は Fig. 1 にしたがって、鰓蓋上黒色斑 (black blotch on opercle) および第1体側赤色縦帯 (first body red stripe)、第2体側赤色縦帯 (second body red stripe)、第3体側赤色縦帯 (third body red stripe)、背鰭赤色縦帯 (dorsal-fin red stripe)、臀鰭上赤色域 (red region on anal fin)、臀鰭遠縁 (distal margin of anal fin)、腹鰭上赤色斑 (red blotch(es) on pelvic fin) とした。本研究の *B. opercularis* の形態の記載は、神奈川県立生命の星・地球博物館の魚類標本資料 (KPM-NI) として収蔵されている小笠原諸島産の2標

本 (KPM-NI 7936 と KPM-NI 11564) に基づき、両顎歯の記載は歯が十分に発達している1標本 (KPM-NI 7936) のみに基づく。色彩の記載は同館の魚類写真資料データベース (KPM-NR) に登録されているこれらの鮮時および固定から20年後に撮影されたカラー写真 (Figs. 2, 3) に基づくが、生鮮時の色彩情報については日本から得られた *B. opercularis* の水中写真およびマーシャル諸島から得られた個体の水槽写真を補足的に使用した。色の名称は財団法人日本色彩研究所(1993)の系統色名を用いた。内部骨格の観察は軟X線写真上でおこなった (Fig. 4)。シノニムリストには分布記録に関する資料あるいは記載が含まれる文献のみを示した。水温は観察個体が発見された水深帯においてダイビングコンピューターを用いて計測した。伊豆海洋公園の海底地形の名称は瀬能・中村 (2013) にしたがった。

なお神奈川県立生命の星・地球博物館の標本と写真資料番号は、電子台帳上はゼロが付加された7桁の数字が使われているが、ここでは標本資料番号として本質的な有効数字で表した。

結果

アカシマタキベラ (新称)

Bodianus opercularis (Guichenot, 1847) (Figs. 1–6; Tables 1–2)

Cossyphus opercularis Guichenot, 1847: 283 (type locality: Madagascar or Réunion I.)

Trochocopus opercularis Günther, 1862: 100 (type locality: southwestern Indian Ocean, probably Mauritius)

Cheiliopsis bivittatus Steindachner, 1863: 1113, pl. 24 (type locality: Mauritius)

Bodianus opercularis: Gomon & Madden, 1981: 122,

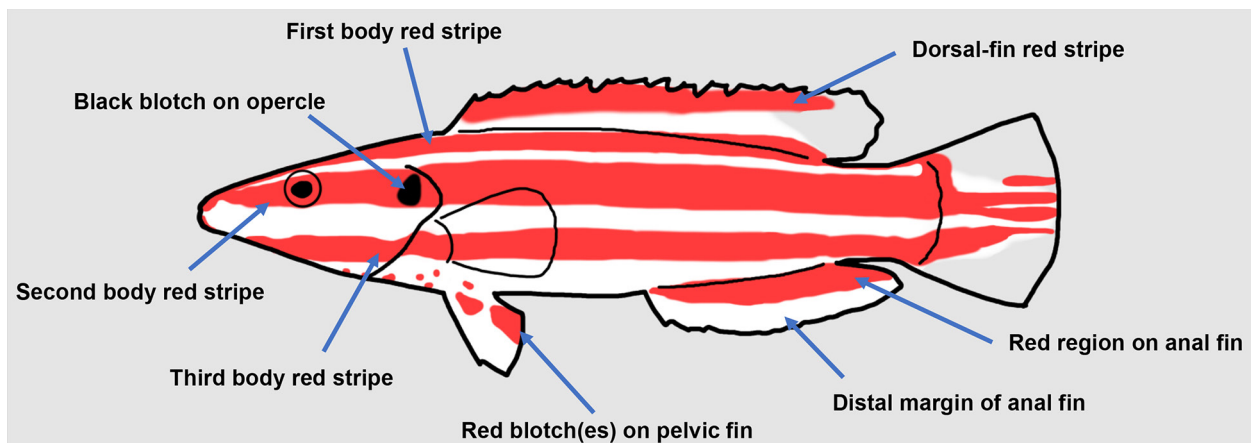


Fig. 1. Diagram of the colorations of *Bodianus opercularis* and *B. neopercularis*.



Fig. 2. Fresh specimens of *Bodianus opercularis* from the Ogasawara Is., Japan. A & B: KPM-NI 7936, 45.5 mm SL; C: KPM-NI 11564, 20.2 mm SL. Photos by H. Senou.

fig. 1 (Red Sea, Madagascar, and Mauritius); Dor, 1984: 196 (Red Sea); Goren & Dor, 1994: 53 (Red Sea); Gomon, 1997: 805, fig. 3 (Gulf of Aquba, Red Sea); Allen & Steene, 1988: 105, fig. 310 (Indian Ocean including Christmas I.); Debelius, 1998: 145 (Gulf of Aquba, Red Sea and Arabian Sea); Fricke,

1999: 399 (Red Sea; East Africa to Comoros and Madagascar; Mauritius, and Réunion); Allen, 2000: 90 (Christmas I.); Parent & Randall, 2000: 6 (Red Sea and Indian Ocean to Indonesia); Gomon, 2006: 30, figs. 3, 16–17, pl. 2 (Gulf of Aquba, Red Sea; Tiwi, Kenya; Madagascar, Mauritius, and Réunion);



Fig. 3. Preserved specimens of *Bodianus opercularis* from the Ogasawara Is., Japan. A: KPM-NI 7936, 45.5 mm SL; B: KPM-NI 11564, 20.2 mm SL. Photos by H. Wada.

Christmas I.); Senou et al., 2006: 477 (Izu Is., Japan); Fricke et al., 2009: 83 (Red Sea; Réunion, Mauritius, Comoros, Madagascar; East Africa east to Christmas Island); Kuitert, 2010: 44 (tropical Indian Ocean including Red Sea, Mauritius to Christmas I.); Lieske & Myers, 2010: 153 (Gulf of Aquba and main basin of Red Sea; Mauritius to Marshall Is.); Kuitert, 2012: 44 (tropical Indian Ocean including Red Sea, Mauritius to Christmas I.); Allen & Erdmann, 2012: 640 (Red Sea; Kenya; Madagascar, Mauritius, and Réunion; Christmas I.); Gomon & Walsh, 2016: 12 (Indian Ocean); Fricke et al., 2018: 278 (Red Sea; East Africa to Comoros, Madagascar and western Mascarenes); Golani & Fricke, 2018: 122 (Red Sea including main basin and Gulf of Aquba; East Africa to Comoros, Madagascar and western Mascarene); Tea et al., 2020: 3, fig. 2 (Réunion)

Bodianus neopercularis (not of Gomon): Kuitert,

2010: 45 (in part; southern Japan to northern Indonesia; Marshall Is.); Kuitert, 2012: 45 (in part; southern Japan to northern Indonesia; Marshall Is.); Nishiyama & Motomura, 2012: 50 (in part; West Pacific including Japan); Kato, 2016: 145 (in part; Izu Is. and Ogasawara Is., Japan; Palau; Marshall Is.)

標本

KPM-NI 7936, 45.5 mm SL, 54.7 mm TL, 東京都小笠原村, 小笠原諸島父島列島兄島, 水深 25 m, 2001 年 6 月 20 日; KPM-NI 11564, 20.2 mm SL, 24.7 mm TL, 東京都小笠原村, 小笠原諸島父島列島兄島, 滝之浦湾, 水深 12 m, 2002 年 9 月 12 日.

写真

相模湾: KPM-NR 225565, 50 mm TL, 伊豆海洋公園, 2 番の根, 水深 48 m, 水温 15 °C,

2021年11月16日, 鈴木美智代撮影; KPM-NR 225567, 70 mm TL, 伊豆海洋公園, 2番の根, 水深28 m, 水温15.5 °C, 2022年9月9日, 鈴木美智代撮影; KPM-NR 225568, 30 mm TL, 伊豆海洋公園, 平根岩, 水深36 m, 水温19 °C, 2022年2月16日, 鈴木美智代撮影; KPM-NR 229506, 50 mm TL, 伊豆海洋公園, 平根岩, 水深38 m, 2022年5月23日, 和田英敏撮影. 高知県: KPM-NR 237314, 100 mm TL, 幡多郡, 勤崎, 水深48 m, 水温18 °C, 2010年1月6日, 松野和志撮影. 伊豆諸島: KPM-NR 62598, 伊豆大島, 水深35 m, 撮影年不明(9月), 大沼久之撮影; KPM-NR 98682, 80 mm TL, 八丈島, ナズマド, 水深60 m, 水温20.8 °C, 1999年10月, 加藤昌一撮影; KPM-NR 176384, 伊豆大島, 秋の浜, 水深37 m, 水温19 °C, 2016年07月03日, 渡邊美雪撮影; KPM-NR 237315, 90 mm TL, 伊豆大島, アサヒの根, 水深38 m, 水温24–25 °C, 2020年7月11日, 末松知宙撮影. 小笠原諸島: KPM-NR 16305, 父島列島弟島, 蝙蝠岩, 水深25–40 m, 1998年4月, 森下修撮影; KPM-NR 31418, 森田康弘撮影; KPM-NR 56671, KPM-NI 11564の標本写真(A: 瀬能宏撮影; B–D: 和田英敏撮影); KPM-NR 56676, KPM-NI 7936の標本写真(A–B: 瀬能宏撮影; C–D: 和田英敏撮影); KPM-NR 176079, 父島列島弟島, 蝙蝠岩, 水深51.4 m, 2017年2月23日, 内野啓道撮影; KPM-NR 237320, 70 mm TL, 父島列島兄島, 万作浜付近, 水深40 m, 2014年1月10日, 森下修撮影; KPM-NR 237321, 30 mm TL, 父島列島兄島, 滝之浦湾, 深沈, 水深45 m, 水温22 °C, 2016年2月20日, 小林修一撮影; KPM-NR 237322, 120 mm TL, 父島列島弟島, スモール, 水深27 m, 2021年2月06日, 小林修一撮影; KPM-NR 237323, 50 mm TL, 父島列島兄島, 滝之浦湾, 深沈, 水深40 m, 2021年11月22日, 小林修一撮影. マーシャル諸島: KPM-NR 237313, 60 mm TL, 飼育個体, 2022年10月27日, 生麦海水魚センター撮影.

記載

計数および計測値をTable 1に示した。体は細長く、側偏する。尾柄は高く、体高の2分の1程度。頭部は長くとがる; 篩骨前頭骨陥凹の直上にあたる頭部背面はわずかに窪む; 下顎腹縁の輪郭は直線的で窪まない。両鼻孔は眼窩上前方に位置し、互いに接近する; 前鼻孔は管状で、後鼻孔は前縁部がわずかに盛り上がった楕円形。両顎の唇はわずかに肥厚する; 上唇は下唇よりわずかに突出する。主上顎骨後端は眼窩前縁と瞳孔前縁の中間点

の直下に位置する。左右の鰓膜は峡部に癒合せず、峡部を横断して連続する。

上顎前端部に2対の発達した犬歯状歯をもち、最も前方の犬歯状歯はその直後の犬歯状歯と同程度の長さ; 上顎前端部の発達した犬歯状歯の直後から上顎最後部までは、上顎前端部の犬歯状歯の6分の1程の長さの円錐歯が1列に密にならぶ; 上顎の最後部には上顎前端部のものの3分の2程度の長さの発達した1対の犬歯状歯をもち、下顎前端部に2対の発達した犬歯状歯をもち、最も前方の犬歯状歯はその直後の犬歯状歯との2倍程度の長さ; 上顎前端部の発達した犬歯状歯の直後から上顎最後部までは、下顎前端部の犬歯状歯の8分の1から4分の1程の長さの円錐歯が2列にならび、前方から後方に向かうにしたがい次第に長くなる。鋤骨に歯をもたない。

体は円鱗でおおわれ、吻部および両眼間隔域、前鰓蓋骨の腹縁と後縁、下顎は無鱗。頬部の鱗域の前端は瞳孔前縁直下に達するが、口裂まで達しない。背鰭前方鱗は眼窩後縁の直上にわずかに達しない。背鰭と臀鰭の鱗鞘の深さは体側鱗のおよそ1.5枚分。側線は全体を有孔鱗でおおわれ、有孔鱗の側線管は分枝しない; 側線は主鰓蓋骨上端直後から始まり、背鰭第3棘起部直下付近まで緩やかに上昇、そこから臀鰭最終軟条基部直上付近まで緩やかに下降し、そこから尾鰭基底中央まで体軸に対して水平に走り、後端は尾鰭上まで達する。

背鰭および臀鰭は中庸に高い; 各棘間の鰭膜は棘の先端よりもわずかに長く伸びる; 各鰭の後縁部を除いた遠縁の輪郭は背・腹縁の輪郭にほぼ並行で、後縁部は円みをおび葉状に突出する。尾鰭は截形で後縁が強く円みをおびる。胸鰭は後縁が円みをおびた三角形で、後端は背鰭第6–7棘基底直下に達する。腹鰭は概ね三角形で、後縁は円みをおびる; たたんだ腹鰭の後端は背鰭第7棘基底直下に達するものの、肛門前縁には明らかに達しない。

成魚において認められる篩骨前頭骨陥凹および前頭骨棚、下顎縫合部の指状嵌入結合は45.5 mm SLの個体についてはわずかに発達する(Fig. 4)。

生時および鮮時の色彩(Figs. 2, 5, 6): 体の地色は白で、大型の個体では黄みをおびることがある。体の赤色部は小型の個体では暗い赤で、成長するにつれ明るい赤に変化する。40 mm TL以上の個体は頭部から腹部前方にかけての腹面に複数の小さな赤系の不定形斑をもち、これらは成長するにつれ明瞭になり、数も増える。頭部から尾柄部までの体側面に3本の体軸に対して水平な、中庸な太さの赤色縦帯をもち; 第2体側赤色縦帯

Table 1. Counts and measurements of *Bodianus opercularis* and *B. neopercularis*

	<i>B. opercularis</i>			<i>B. neopercularis</i>
	This study		Gomon (2006)	Gomon (2006)
	West Pacific		Indian Ocean	West Pacific
	KPM-NI 7936	KPM-NI 11564	—*	n = 2
Standard length (mm)	45.5	20.2	44.0–112.0	83.3–97.2
Counts				
Dorsal-fin rays	XII, 10	XII, 10	XII, 9–10 (10)	XII, 10
Anal-fin rays	III, 12	III, 12	III, 12	III, 12
Pectoral-fin rays	ii, 14, i	ii, 14	ii, 14–15 (15)	ii, 15
Caudal-fin rays	10 + 12 + 10	10 + 12 + 9	10 + 12 + 8–10 (9)	10 + 12 + 10
Lateral-line scales	44	41	40–46 (42)	40–43
Scales above lateral line	4½	4	3–4½	4–4½
Scales below lateral line	14	14	13–14½	12–15
Predorsal scales	13	10	9–13	11–12
Total gill rakers	—**	—**	15–17 (16 or 17)	15
Measurements (% SL)				
Body depth	23.7	23.8	20.9–24.6	22.6–25.1
Caudal-peduncle depth	14.2	13.1	12.5–14.1	13.2–14.1
Head length	34.5	36.9	35.2–37.9	35.2–36.9
Snout length	10.3	10.3	10.8–13.6	12.4–12.7
Orbital diameter	8.5	10.1	6.2–8.4	7.7–7.8
Interorbital width	5.5	broken	5.0–6.2	5.5–6.8
Dorsal-fin base length	49.9	48.3	48.7–53.0	49.1–52.7
First dorsal-fin spine length	7.1	broken	5.0–6.1	5.6–6.0
Second dorsal-fin spine length	8.7	broken	6.2–7.8	6.1–6.5
Last dorsal-fin spine length	13.2	13.9	10.7–12.2	9.6–12.1
Posterior lobe of dorsal fin	14.3	broken	9.5–12.5	8.7–12.2
Anal-fin base length	26.3	23.5	22.3–27.6	27.3–27.6
First anal-fin spine length	5.7	6.4	4.6–5.7	5.5–5.6
Third anal-fin spine length	12.9	12.6	9.5–13.2	11.8–12.0
Posterior lobe of anal fin	13.4	broken	10.0–11.5	8.4–8.8
Pectoral-fin length	17.1	16.3	15.4–18.3	15.6–17.7
Pelvic-fin length	17.3	broken	15.4–16.7	16.2–16.6
Uppermost caudal-fin ray length	20.9	broken	—	17.8–20.0
Medial caudal-fin rays length	19.1	24	19.4–22.3	19.2–20.1

*Values of counts and measurements were given from 7–12 and 8 specimens, respectively; ** rudimentally.

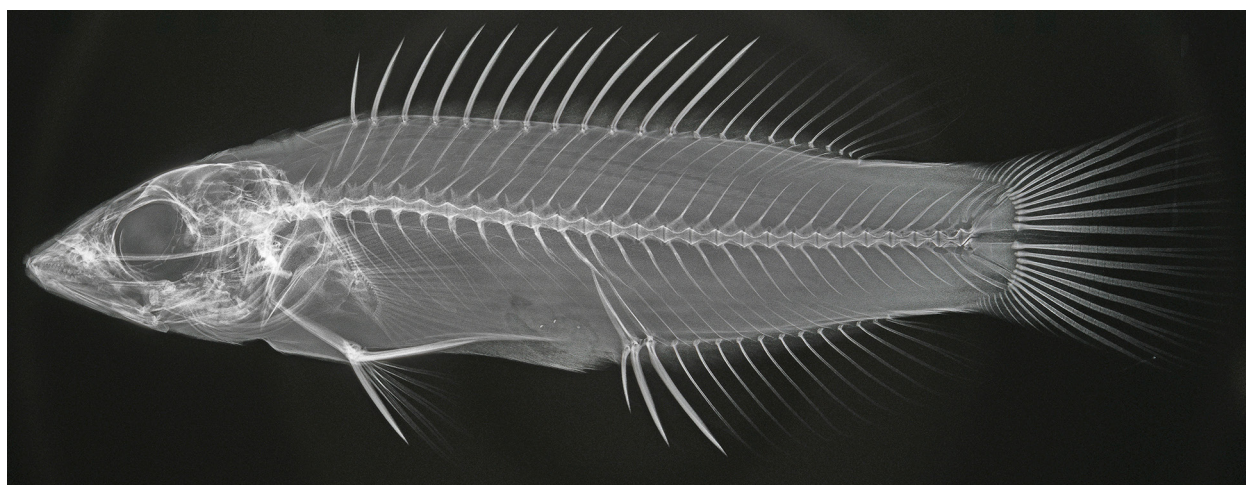


Fig. 4. Radiograph of *Bodianus opercularis* from the Ogasawara Is., Japan. KPM-NI 7936, 45.5 mm SL. Taken by H. Wada.

の幅は3本の縦帯の中で最も太く、第1体側赤色縦帯が最も細い；第1体側赤色縦帯は上唇の直後から背鰭の基部に沿って尾柄後端まで伸び、背鰭基底の後方4分の1から4分の3程度をおおう；両体側の第1体側赤色縦帯は前端部と後端部で接続する；第2体側赤色縦帯は上唇から尾鰭基底まで伸びる；25–30 mm TL ほどの個体は第2体側赤色縦帯後端（尾鰭基底）に瞳孔径よりやや大きな暗い赤の円形斑をもち、40 mm TL 以上の個体では斑紋をもたない、または暗い赤のしみ状斑をもつ；第3体側赤色縦帯は下顎腹面から尾鰭基底まで伸び、胸鰭基底の下方2分の1から3分の2をおおう；両体側の第1体側赤色縦帯は前端部と後端部で接続する；各赤色縦帯間の間隔は広く、第2および第3体側赤色縦帯の間隔域における幅はほぼ一定で眼窩径の2分の1から3分の2程度。第2体側赤色縦帯の前半部に大きな三角形の鰓蓋上黒色斑があり、その縦幅は眼窩径の5分の3から6分の5で、25 mm TL 以上の個体では明瞭である。背鰭の地色は前方4分の3において白で、後方4分の1において白色半透明；背鰭赤色縦帯は第1–3体側赤色縦帯よりわずかに暗い赤系であり、背鰭第1・2棘間の鰭膜からはじまり背鰭第5–7軟条間の鰭膜まで伸長し、後方に向かうにしたがい細く不明瞭になる；120 mm TL 以下の個体においては背鰭赤色縦帯の前端には黒のしみ状斑をもつ。臀鰭上赤色域は第1–3体側赤色縦帯よりわずかに暗い赤系で、臀鰭基底から遠縁方向に2分の1から3分の2の面積を占める；臀鰭遠縁は白で、臀鰭の面積の3分の1から2分の1の面積を占め、25–80 mm TL ほどの個体ではわずかに透明がかかる。尾鰭の地色は基底から中央部にかけては白で、後縁部と上・下葉の隅角部においては25–30 mm TL ほどの個体では白で、40 mm TL 以上の個体においては白色半透明；尾鰭には第1体側赤色縦帯からつづく赤系の縦帯が伸長し、上方向に湾曲しながら尾鰭後縁の直前まで達する；第2体側赤色縦帯からつづく赤系の縦帯は、25–30 mm TL ほどの個体ではほぼ直線的に、40 mm TL 以上の個体においては後方に向かって放射状に分枝しながら尾鰭後縁の直前まで達する；第3体側赤色縦帯からつづく赤系の縦帯はほぼ直線的に上昇しながら尾鰭後縁の直前まで達する；第1–3体側赤色縦帯からつづく赤系の縦帯の後端は、25–30 mm TL ほどの個体では互いに接続し、40 mm TL 以上の個体においては接続しない。胸鰭は白色半透明。腹鰭の地色は白で、25–30 mm TL ほどの個体では赤系の色彩をもたず、40 mm TL 以上の個体においては1–3個の不定形の腹鰭上赤色斑が後半部に出現し、それらが

腹鰭の面積の6分の1から2分の1を占める（稀に赤色斑をもたない個体も存在する）。

固定後の色彩 (Fig. 3) : 体の地色は黄みの白。各鰭の地色は白色半透明。赤系の色彩は20.2 mm SL の個体では概ね灰みのブラウンに置き換わり、45.5 mm SL の個体においては体および尾鰭、腹鰭のものはごく薄い灰みのブラウンに置き換わり、背鰭と臀鰭のものは淡い黄みのブラウンに置き換わる。鮮時にみとめられた鰓蓋上の黒色斑が濃いブラウンに置き換わった上で明瞭に残る。尾鰭基底の円形斑あるいはしみ状斑はほぼ完全に消失する。

分布 (Fig. 7)

Bodianus opercularis は紅海およびインド-西太平洋の広域から標本あるいは水中写真などの証拠資料にもとづき記録されている：紅海 (Gomon & Madden, 1981; Dor, 1984; Gomon, 1997, 2006; Debelius, 1998; Kuitert, 2010, 2012; Lieske & Myers, 2010) およびケニア (Gomon, 2006)、マダガスカル (Guichenot, 1847; Gomon, 2006)、モーリシャス (Steindachner, 1863; Gomon, 2006; Kuitert, 2010, 2012)、レユニオン島 (Guichenot, 1847; Tea et al., 2020) などの東アフリカ海域；クリスマス島 (Allen & Steene, 1988; Gomon, 2006; Allen & Erdmann, 2012)；日本 (Figs. 2, 5, 6; Senou et al., 2006; Kuitert, 2010, 2012; 西山・本村, 2012; 加藤, 2016)；マーシャル諸島 (Fig. 5F)。アラビア海とコモロ諸島についてはこれまでに標本や水中写真に基づく記録は無い (Debelius, 1998; Fricke, 1999; Fricke et al., 2009, 2018)。

日本においては相模湾西部にあたる伊豆海洋公園 (Fig. 5A–B) および高知県南西部 (Fig. 5D)、伊豆諸島伊豆大島 (Fig. 5C; Senou et al., 2006; Kuitert, 2010, 2012; 西山・本村, 2012; 加藤, 2016)、伊豆諸島八丈島 (加藤, 2016; KPM-NR 98682)、小笠原諸島父島列島 (Fig. 6; 西山・本村, 2012; 加藤, 2016)、琉球列島沖縄諸島水納島 (Fig. 5E) から記録されている。

考 察

小笠原諸島から得られた2標本は、臀鰭が3棘12軟条および尾鰭の不分枝の前起鰭条が背縁では10かつ腹縁では9–10、側線有孔鱗数が41–44、体高が低くSLの23.7–23.8%、背鰭前方鱗が眼窩後縁の直上にわずかに達しない、鋤骨に歯をもたない、明瞭な鰓蓋上黒色斑をもつ（生鮮時と固定後）、頭部から尾柄部までの体側面に3本の体軸に対して水平な赤色縦帯をもち、第2・3体

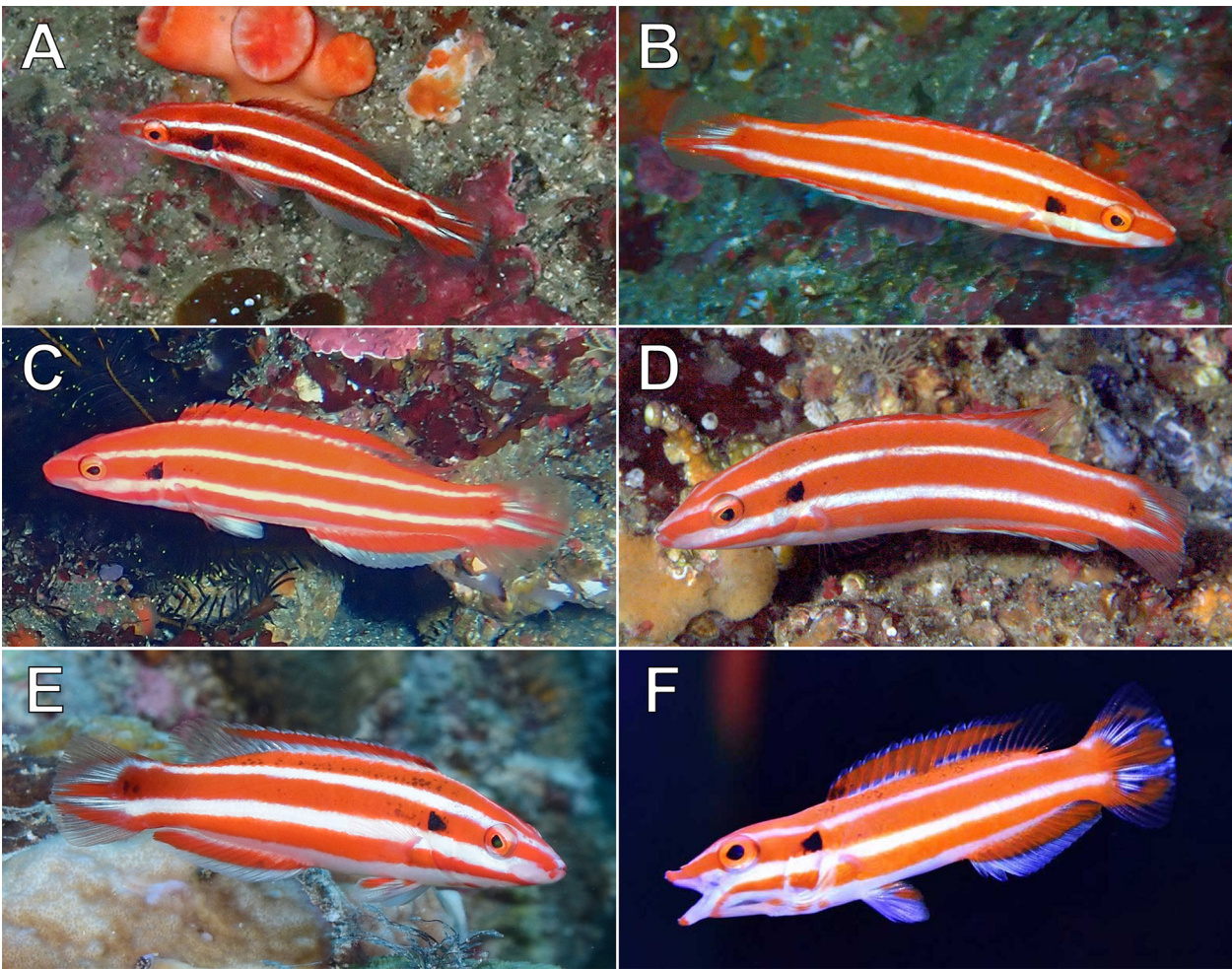


Fig. 5. Live individuals of *Bodianus opercularis*. A: KPM-NR 229506, 50 mm TL, Sagami Bay, Japan, 38 m depth, photo by H. Wada; B: KPM-NR 225567, 70 mm TL, Sagami Bay, Japan, 28 m depth, photo by M. Suzuki; C: KPM-NR 237315, 90 mm TL, Izu-oshima I., Izu Is., Japan, 38 m depth, photo by T. Suematsu; D: KPM-NR 237314, 100 mm TL, Kochi Pref., Japan, 48 m depth, photo by K. Matsuno; E: KPM-NR 237317, 80 mm TL, Minna-jima I., Ryukyu Is., Japan, 24 m depth, photo by S. Ueda; F: KPM-NR 237313, 60 mm TL, aquarium trade from Marshall Is., photo by Namamugi Sea Fishes Center.

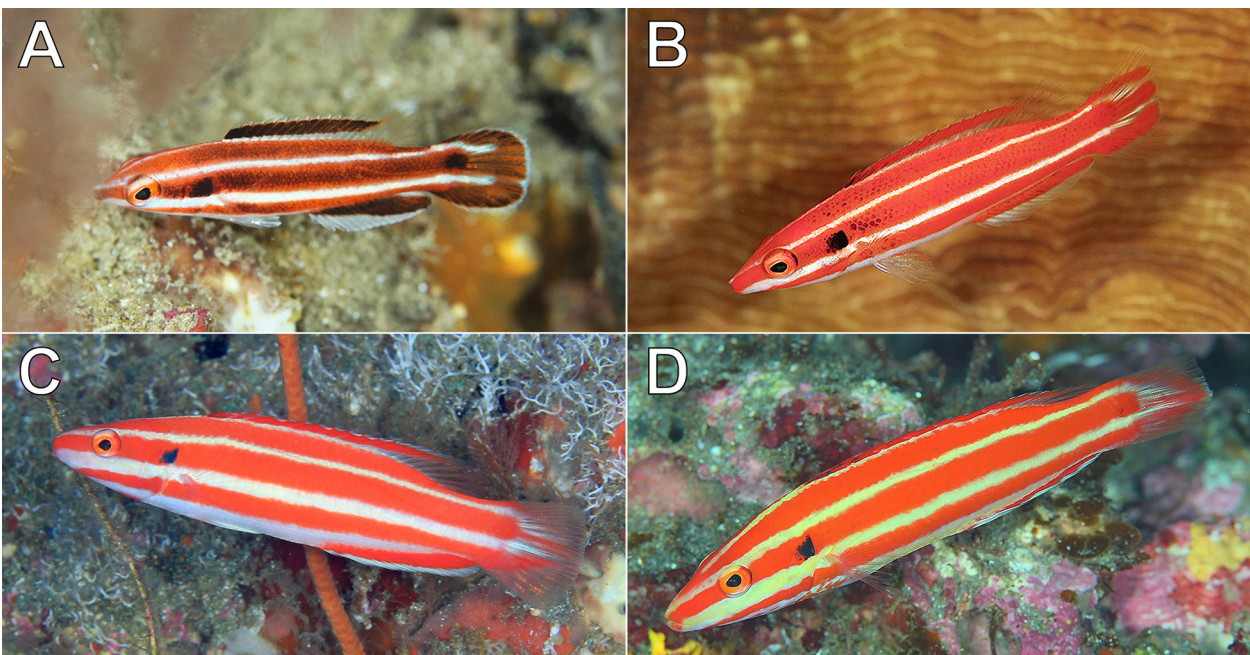


Fig. 6. Underwater photographs of *Bodianus opercularis* from Ogasawara Is., Japan at depths of 27–51 m. A: KPM-NR 237321, 30 mm TL; B: KPM-NR 237320 (flip horizontally), 70 mm TL; C: KPM-NR 176079, 90 mm TL; D: KPM-NR 237322, 120 mm TL. Photos by S. Kobayashi (A & D), O. Morishita (B), and K. Uchino (C).

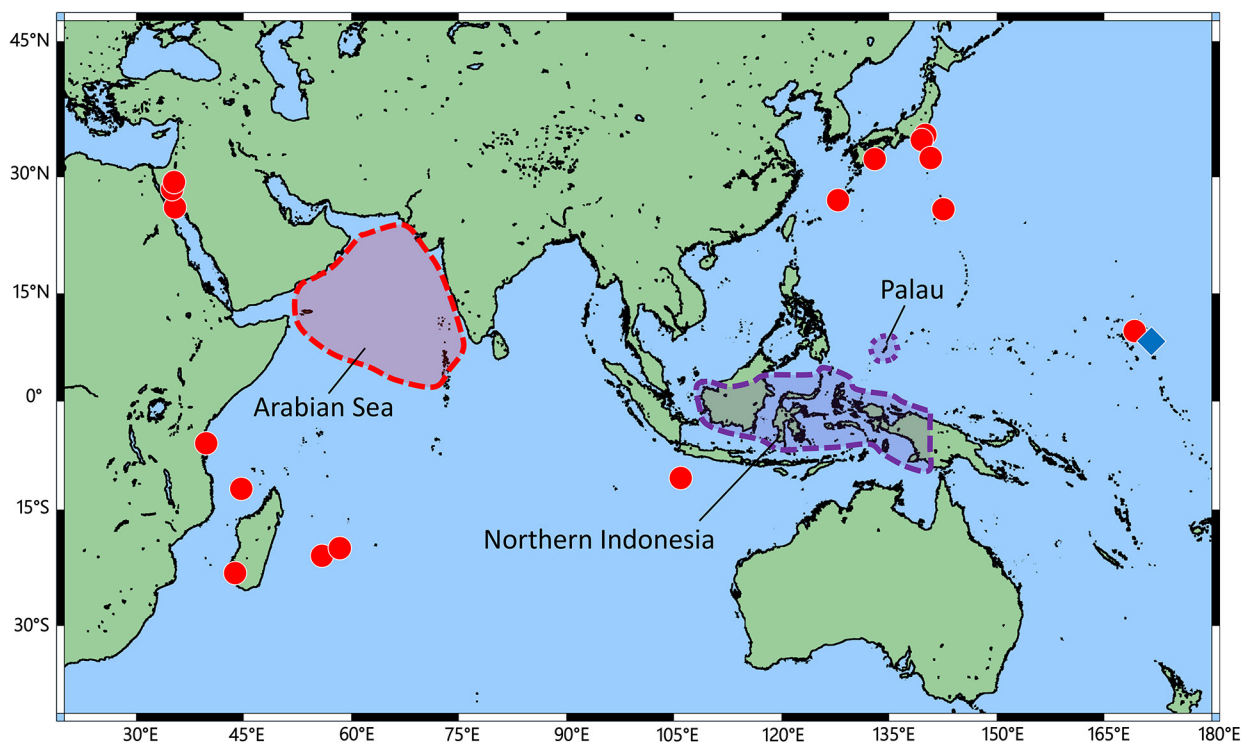


Fig. 7. Distributional records of *Bodianus opercularis* (red circles) and *B. neopercularis* (blue diamond). The area enclosed by a red broken line indicates the ambiguously marked distribution of *B. opercularis* by Debelius (1998). Areas enclosed by a purple broken line indicate the undetermined distributions of *B. opercularis* and/or *B. neopercularis* by Myers (1999) and Kuiter (2010, 2012).

側赤色縦帯は尾鰭まで伸長する（生鮮時）、生鮮時に尾鰭基底に暗色斑をもち、これが固定後には不明瞭になる、臀鰭上赤色域が臀鰭基底から遠縁部にかけての2分の1を占め、臀鰭遠縁は白（生鮮時）、腹鰭が白色で後半部に腹鰭の面積の4分の1ほどを占める小さな赤色斑をもつ（KPM-NI 7936のみ；生鮮時）などの形態的特徴が Gomon (2006) と Gomon & Walsh (2016) の示した *Bodianus opercularis* の特徴によく一致した。本研究で観察をおこなった2標本の計測値は、背鰭第1棘長（first dorsal-fin spine length）のSLに占める割合などの合計5項目において、Gomon (2006) の示した *B. opercularis* の計測値と1ポイント以上の差異が認められた（Table 1）。しかしこれらの標本は20.2–45.5 mm SLと小型であり、Gomon (2006) が計数・計測に使用した標本は11標本中8標本が79.4 mm SL以上の比較的大型の個体であり、Gomon (2006) が示した計測値は小型個体における変異幅が十分に網羅されていないものと考えられる。なお同程度の変異幅は他のタキベラ属において種内変異として知られており（Gomon, 2006）、その他の計数・計測値と体各部と色彩の特徴はGomon (2006) と Gomon & Walsh (2016) の示した *B. opercularis* の特徴によく一致したため、本研究でこれらの計測値の変異を種内変異として認めた。本種はこれまでに太平

洋において標本に基づき記録された例が無いため、小笠原産の2標本は日本初記録かつ太平洋における本種の標本に基づく初記録となる。

Bodianus opercularis はマーシャル諸島に分布する *B. neopercularis* と各計数・計測値の変異幅がよく重複し、背鰭前方鱗の前端が両眼間隔域に達しない、鋤骨に歯をもたない、生鮮時に頭部から尾柄部までの体側面に3本の体軸に対して水平な赤色縦帯をもつことなどの特徴を共有することで互によく似るが（Gomon, 2006; Gomon & Walsh, 2016）、*B. opercularis* は各赤色縦帯間の間隔が広く、第2および第3体側赤色縦帯の間隔域における幅がほぼ一定で眼窩径の2分の1から3分の2（*B. neopercularis* では狭く、第2および第3体側赤色縦帯の間隔域における幅が前方から後方に向かうにしたがい狭くなり、その幅は眼窩径の4分の1から2分の1）、第1体側赤色縦帯が背鰭基底の後方4分の1から4分の3をおおう（*B. neopercularis* では背鰭基底の後方5分の1ほどをおおう）、第3体側赤色縦帯が胸鰭基底の下方2分の1から3分の2をおおう（*B. neopercularis* ではほぼ全域をおおう）、鰓蓋上黒色斑は大きく、成長の過程で一貫して明瞭で、縦幅は眼窩径の5分の3から6分の5（*B. neopercularis* では小さく、成長にしたがい小さく不明瞭になり、縦幅は眼窩径の6分の1から3分の1）、臀鰭上赤色域

Table 2. Confirmations of the specimens and/or the figures included in the previous records of *Bodianus opercularis* and *B. neopercularis*

Reference	Locality	Pages	Original ID	Present ID
Gomon & Madden (1981)	Red Sea; Madagascar and Mauritius	122, fig. 1	<i>B. opercularis</i>	<i>B. opercularis</i>
Allen & Steene (1988)	Christmas I.	105, fig. 310	<i>B. opercularis</i>	<i>B. opercularis</i>
Gomon (1997)	Gulf of Aquba, Red Sea	805, fig. 3	<i>B. opercularis</i>	<i>B. opercularis</i>
Debelius (1998)	Gulf of Aquba, Red Sea	145, unnumbered fig.	<i>B. opercularis</i>	<i>B. opercularis</i>
Myers (1999)	Micronesia (Palau or Kwajalein Atoll, Marshall Is.)	189, pl. 109G	<i>B. opercularis</i>	<i>B. neopercularis</i>
Gomon (2006)	Kwajalein Atoll, Marshall Is.	28, figs. 15–16, pl. 2A–B	<i>B. neopercularis</i>	<i>B. neopercularis</i>
Gomon (2006)	Gulf of Aquba, Red Sea; Madagascar, Mauritius, and Réunion; Christmas I.	30, figs. 3d, 16–17, pl. 2C–D	<i>B. opercularis</i>	<i>B. opercularis</i>
Senou et al. (2006)	Izu-oshima I., Izu Is., Japan	477, supplemental material	<i>B. opercularis</i>	<i>B. opercularis</i>
Kuiter (2010)	Red Sea; Christmas I.	44, unnumbered figs.	<i>B. opercularis</i>	<i>B. opercularis</i>
Kuiter (2010)	Izu-oshima I., Izu Is., Japan	45, unnumbered figs.	<i>B. neopercularis</i>	<i>B. opercularis</i>
Lieske & Myers (2010)	Gulf of Aquba, Red Sea	153, unnumbered fig.	<i>B. opercularis</i>	<i>B. opercularis</i>
Kuiter (2012)	Red Sea; Christmas I.	44, unnumbered figs.	<i>B. opercularis</i>	<i>B. opercularis</i>
Kuiter (2012)	Izu-oshima I., Izu Is., Japan	45, unnumbered figs.	<i>B. neopercularis</i>	<i>B. opercularis</i>
Allen & Erdmann (2012)	Christmas I.	640, unnumbered fig.	<i>B. opercularis</i>	<i>B. opercularis</i>
Nishiyama & Motomura (2012)*	Chichi-jima I., Ogasawara Is., Japan	50, unnumbered figs.	<i>B. neopercularis</i>	<i>B. opercularis</i>
Kato (2016)*	Hachijo-jima I., Izu Is. and Ogasawara Is., Japan	145, unnumbered figs.	<i>B. neopercularis</i>	<i>B. opercularis</i>
Tea et al. (2020)	Réunion	3, fig. 2	<i>B. opercularis</i>	<i>B. opercularis</i>
Froese & Pauly (2022)	Kwajalein Atoll, Marshall Is.	website, unnumbered figs.	<i>B. neopercularis</i>	<i>B. neopercularis</i>
Froese & Pauly (2022)	Gulf of Aquba, Red Sea	website, unnumbered figs.	<i>B. opercularis</i>	<i>B. opercularis</i>

*In Japanese.

は臀鰭の面積のおよそ半分を占め、臀鰭遠縁の白色域は3分の1から2分の1の面積を占める (*B. neopercularis* では少なくとも大型個体においては臀鰭表面のほぼ全域を占め、臀鰭遠縁の白色域は縁取り状に10分の1から4分の1の面積を占める)、大型の個体では尾鰭の隅角部が白色半透明 (*B. neopercularis* では赤みをおびる)、腹鰭上赤色斑は1–3個で小さく、腹鰭の面積の6分の1から2分の1を占めるか、あるいは無い (*B. neopercularis* では少なくとも大型個体においては1個で大きく、半分以上を占める) などの特徴をもつことで *B. neopercularis* から識別される (Gomon, 2006; 本研究)。また、Gomon (2006) は *B. opercularis* が大型の個体では背鰭棘部前方に黒色斑をもたない一方で、*B. neopercularis* が1個の黒色斑をもつことを両種の識別的特徴の一つとして挙げた。しかし、*B. opercularis* では112 mm SL以上 (全長では140 mm以上) の大型の個体において黒色斑をもたない個体が認められたが (Gomon, 2006; Kuiter, 2010, 2012; Froese & Pauly, 2022)、それ以下の体サイズのほぼ全ての個体においてはしみ状の黒色斑が確認されたため (Figs. 2, 5–6; Gomon, 2006; Kuiter, 2010, 2012; 西山・本村, 2012; 加藤, 2016)、黒色斑の有無は体サイズに大きく依存することに留意する必要がある。

Bodianus opercularis はこれまでに日本における標本に基づく記録は無かったものの、その日本沿岸における分布はダイバーの間では古くから知られていた。少なくとも1998年4月には小笠原諸島父島列島弟島において水中写真が撮影されており (KPM-NR 16305)、小笠原諸島の水深20 m以深においては様々な成長段階の個体が通年観察さ

れていた (Fig. 6; 森下, 未発表)。さらにその他の日本太平洋側の島嶼域においても、散発的な記録を含め様々な成長段階の個体が観察されているため (Fig. 7C–E; Senou et al., 2006; Kuiter, 2010, 2012; 西山・本村, 2012; 加藤, 2016)、本種は日本において定着・再生産しているものと考えられる。相模湾西部 (伊豆半島東岸) に位置する伊豆海洋公園においては2021年11月まで本種が記録されていなかったものの (瀬能, 未発表)、それ以降2022年10月までに25–70 mm TLまでの多くの成長段階の個体が観察されていることから (KPM-NR 225565, 225567–225568, 229506; 鈴木美智代氏, 私信)、本種は既に相模湾において定着・再生産しているか、あるいは今後相模湾に定着する可能性がある。

相模湾 (KPM-NR 225568) と沖縄諸島水納島 (KPM-NR 237317) において観察されたそれぞれ1個体の *B. opercularis* については、自身より大型の魚類に接近し吻を向けるなどの行動が観察された (鈴木美智代氏, 植田智士氏, 植田正恵氏, 私信)。この行動はホンソメワケベラ *Labroides dimidiatus* (Valenciennes, 1839) や、同じタキベラ属であるシマキツネベラ *Bodianus masudai* Araga & Yoshino, 1975 の幼魚を含めたベラ科魚類に広く認められるクリーニング行動であると思われるが (西山・本村, 2012; 加藤, 2016)、*B. opercularis* における同様の観察例は乏しいため、この行動の実態については今後の検討を要する。

Bodianus opercularis には標準和名がないため、小笠原諸島産の1標本 (KPM-NI 7936, 45.5 mm SL; Fig. 2A, B) に基づき、新標準和名アカシマタキベラを提唱する。これは本種の生鮮時に認め

られる体側面の特徴的な赤色縦帯に因む。

分布記録の再検討

本研究ではアカシマタキベラ *B. opercularis* の分布記録を整理する過程で、本種と形態的特徴のよく似る *B. neopercularis* の分布記録についても整理をおこなった。従来、両種は異所的に種分化した近縁種であり、*B. opercularis* は紅海とインド洋の広域に、*B. neopercularis* は西太平洋の広域に分布すると考えられていた (Gomon, 2006; Kuitert, 2010, 2012; 西山・本村, 2012; 加藤, 2016; Gomon & Walsh, 2016)。しかし、「備考」の項に示した Gomon (2006) の見解に加え本研究で確認された成長段階と両種の種内変異を考慮した両種の識別的特徴にもとづき既往の分布記録を精査した結果、*B. opercularis* はシノニムリストおよび「分布」の項に示したとおり紅海およびインド-西太平洋の広域に分布することが明らかとなった。なお、現在、本種と同様にインド-西太平洋の広域に分布するタキベラ属魚類にはスジキツネベラ *Bodianus leucosticticus* (Bennett, 1832) やズナガアカボウ *Bodianus tanyokidus* Gomon & Madden, 1981 など 7 有効種が知られている (Gomon, 2006; 畑ほか, 2015; Cabebe et al., 2020)。また、これまでマーシャル諸島には *B. neopercularis* のみが分布すると考えられていたが (例えば Gomon, 2006; Gomon & Walsh, 2016)、本研究により *B. opercularis* もマーシャル諸島に分布することが明らかとなった (Fig. 5F)。

一方で、*B. neopercularis* の標本や水中写真などに基づく記録はマーシャル諸島に限られることが明らかになった (Table 2; Gomon, 2006; Froese & Pauly, 2022)。Myers (1999) は、ミクロネシアのいずれかの海域で撮影されたおよそ 110 mm TL の 1 個体に基づき *B. opercularis* を報告しており、本種の分布にパラオとマーシャル諸島を含めているが、この個体は *B. neopercularis* を記載した Gomon (2006) により *B. neopercularis* に再同定されている。これが加藤 (2016) などの文献における *B. neopercularis* のパラオにおける分布の根拠であると考えられるが、これまでにパラオにおける本種の直接資料に基づく記録は無く、パラオに比較的近い日本およびマーシャル諸島、クリスマス島には *B. opercularis* が分布するため (「分布」の項を参照)、Myers (1999) がパラオから報告した種は *B. opercularis* と *B. neopercularis* のいずれであるか不明である (Fig. 7)。Kuitert (2010, 2012) はインドネシア北部から *B. neopercularis* を報告しているが、これらの文献では *B. opercularis* と *B. neopercularis* が正確に識別されていない上に、イ

ンドネシア北部における *B. neopercularis* の分布に対応する証拠資料が示されていないため、Kuitert (2010, 2012) がインドネシア北部から報告した種の実態についても不明である (Fig. 7)。なお、日本における *B. neopercularis* の既往の分布記録において示された個体は、全て *B. opercularis* に同定された (Table 2)。

総じて、従来の *B. opercularis* と *B. neopercularis* がそれぞれインド洋と西太平洋に異所的に分布するという見解は誤りであり、*B. opercularis* は紅海とインド洋-西太平洋に広く分布し、*B. neopercularis* の確実な分布記録はマーシャル諸島に限られる上に *B. opercularis* と同所的に分布することが明らかとなった。今後、両種のより正確な分布を把握するためには、情報の乏しい西部太平洋の熱帯域などから集中的に証拠資料を収集した上で検討を行なう必要がある。

謝 辞

本報告を取りまとめるにあたり、小笠原ダイビングセンターの森田康弘氏および東京都小笠原村在住の小林修一氏、ダンスダイブショップの鈴木美智代氏、東京海洋大学海洋資源環境学部の末松知宙氏、神奈川県立生命の星・地球博物館ボランティアの内野啓道氏、柏島ダイビングサービス AQUAS の松野和志氏と松野靖子氏、海と島の雑貨屋さんの植田智士氏と植田正恵氏、UMA (アンダーウォーター・漫談・アソシエーション) の古菅正道氏、東京都大島町在住の大沼久之氏、レグルスダイビングの加藤昌一氏、茨城県在住の渡邊美雪氏、生麦海水魚センターの本田氏にはアカシマタキベラの貴重な写真資料とそれらの詳細な付随情報を提供していただいた。鹿児島大学総合研究博物館の本村浩之氏とエルサレム・ヘブライ大学の Daniel Golani 氏には文献調査にご協力をいただいた。神奈川県立博物館研究報告の編集委員の皆さまと匿名の 2 名の査読者には原稿の改訂に際して適切な助言をいただいた。以上の方々に謹んで感謝の意を表す。

本研究の一部は JSPS 研究奨励費 (PD: 21J01755) の援助を受けた。

引用文献

- Allen, G. R., 2000. Fishes of Christmas Island, Indian Ocean. Records of the Western Australian Museum, Supplement, (59): 83-95.
- Allen, G. R. & M. V. Erdmann, 2012. Reef fishes of the East Indies. xiii+1292 pp. Tropical Reef Research, Perth.

- Allen, G. D. & R. C. Steene, 1988. Fishes of Christmas Island, Indian Ocean. 199 pp. Christmas Island Natural History Association, Christmas Island.
- Cabebe, R. A., T. Maekawa & H. Motomura, 2020. First specimen-based record of *Bodianus leucosticticus* (Perciformes: Labridae) from the Amami Islands, Japan. *Nature of Kagoshima*, (46): 129–132.
- Debelius, H., 1998. Red Sea reef guide: Egypt, Israel, Jordan, Sudan, Saudi Arabia, Yemen, Arabian Peninsula. 321 pp. IKAN Unterwasserarchiv, Frankfurt.
- Dor, M., 1984. Checklist of the fishes of the Red Sea. xxii+437 pp. The Israel Academy of Sciences and Humanities, Jerusalem.
- Fricke, R., 1999. Fishes of the Mascarene Islands (Réunion, Mauritius, Rodriguez). An annotated checklist with description of new species. viii+759 pp. Koeltz, Königstein.
- Fricke, R., J. Mahafina, F. Behivoke, H. Jaonalison, M. Léopold & D. Ponton, 2018. Annotated checklist of the fishes of Madagascar, southwestern Indian Ocean, with 158 new records. *FishTaxa*, 3(1): 1–432.
- Fricke, R., T. Mulochau, P. Durville, P. Chabanet, E. Tessier & Y. Letourneur, 2009. Annotated checklist of the fish species (Pisces) of La Réunion, including a Red List of threatened and declining species. *Stuttgarter Beiträge zur Naturkunde A, Neue Serie*, (2): 1–168.
- Froese, R. & D. Pauly, 2022. FishBase. World Wide Web electronic publication. Online: www.fishbase.org (accessed on 2022-10-31).
- Golani, D. & R. Fricke, 2018. Checklist of the Red Sea fishes with delineation of the Gulf of Suez, Gulf of Aqaba, endemism and Lessepsian migrants. *Zootaxa*, (4509): 1–215.
- Gomon, M. F., 1997. Relationships of fishes of the labrid tribe Hypsigenyini. *Bulletin of Marine Science*, 60(3): 789–871.
- Gomon, M. F., 2006. A revision of the labrid fish genus *Bodianus* with descriptions of three new species. *Records of the Australian Museum, Supplement*, (30): 1–133.
- Goren, M. & M. Dor, 1994. An updated checklist of the fishes of the Red Sea. 120 pp. The Israel Academy of Sciences and Humanities, Jerusalem.
- Gomon, M. F., & W. D. Madden, 1981. Comments on the labrid fish subgenus *Bodianus* (*Trochocopus*) with a description of a new species from the Indian and Pacific Oceans. *Revue française d'Aquariologie*, 7(4): 121–126.
- Gomon, M. F. & F. Walsh, 2016. A new pygmy hogfish (Labridae: *Bodianus*) of the subgenus *Trochocopus* from the tropical southern Pacific Ocean. *Journal of the Ocean Science Foundation*, (23): 12–20.
- Guichenot, A., 1847. Description de deux nouvelles espèces de Cossyphes. *Revue Zoologique par la Société Cuvierienne* (Paris), (10): 282–284.
- Günther, A., 1862. Catalogue of the fishes in the British Museum. Catalogue of the Acanthopterygii, Pharyngognathi and Anacanthini in the collection of the British Museum. Vol. 4. xxi+534 pp. British Museum, London.
- 畑 晴陵・高山真由美・本村浩之, 2015. 鹿児島県トカラ列島から得られたベラ科魚類ズナガアカボウ. *日本生物地理学会会報*, 70: 193–196.
- Hubbs, C. L. & K. F. Lagler, 1947. Fishes of the Great Lakes region. *Cranbrook Institute of Science Bulletin*, (26): i–xi + 1–186, with 38 unnumbered, 26 col. pls., 1 map (end-papers).
- 加藤昌一, 2016. ネイチャーウォッチングガイドブック: ベラ & ブダイ. 319 pp. 誠文堂新光社, 東京.
- Kuiter, R. H., 2010. Labridae fishes: wrasses. 390 pp. Aquatic Photographics, Seaford.
- Kuiter, R. H. 2012. Labridae fishes: wrasses. Second edition. 398 pp. Aquatic Photographics, Seaford.
- Lieske, E. & R. Myers, 2010. Korallenriff-Führer Rotes Meer. 2nd Edition. 398 pp. Kosmos, Stuttgart.
- Myers, R. F. 1999. Micronesian reef fishes, a practical guide to the identification of the coral reef fishes of the tropical central and western pacific, 3rd edition. vi+330 pp. Coral Graphics, Guam.
- 西山一彦・本村浩之, 2012. 日本のベラ大図鑑. 303 pp. 東方出版, 大阪.
- Parenti, P. & J. E. Randall, 2000. An annotated checklist of the species of the labroid fish families Labridae and Scaridae. *Ichthyological Bulletin of the J. L. B. Smith Institute of Ichthyology*, (68): 1–97.
- Randall, J. E. & B. C. Victor, 2013. *Bodianus atrolumbus* (Valenciennes 1839), a valid species of labrid fish from the southwest Indian Ocean. *Journal of the Ocean Science Foundation*, (8): 44–61.
- Senou, H., K. Matsuura & G. Shinohara, 2006. Checklist of fishes in the Sagami Sea with zoogeographical comments on shallow water fishes occurring along the coastlines under the influence of the Kuroshio Current. *Memoirs of the National Science Museum*, (41): 389–542.
- 瀬能 宏・中村宏治, 2013. 知られざる海中世界. 瀬能宏編, 益田 一と日本の魚類学: 魚類図鑑に生涯を捧げた DANDY. pp. 11–22. 神奈川県立生命の星・地球博物館, 小田原.
- Steindachner, F., 1863. Ichthyologische Mittheilungen. (V) Ueber einige labroiden des Wiener Museums. *Verhandlungen der Zoologisch-Botanischen Gesellschaft zu Wien*, (13): 1111–1114, pls. 23–24.
- Tea, Y. K., P. Plantard & B. D. Greene, 2020. Notes on fishes of the mesophotic reefs of Réunion Island. *Journal of the Ocean Science Foundation*, (35): 1–7.
- 山川 武, 1984. タキベラ属. 益田 一・尼岡邦夫・荒賀忠一・上野輝彌・吉野哲夫編, 日本産魚類大図鑑. pp. 196–197, pls. 195–196. 東海大学出版会, 東京.
- 財団法人日本色彩研究所監修, 1993. 改訂版色名小事典, 改訂第12刷. 90 pp. 日本色研事業株式会社, 東京.

摘 要

和田英敏・瀬能 宏・森下 修, 2023. ベラ科魚類 *Bodianus opercularis* アカシマタキベラ (新称) の標本にもとづく太平洋初記録および分布記録の再検討. 神奈川県立博物館研究報告 (自然科学), (52): 59–71. [Wada, H., H. Senou & O. Morishita, 2023. First Specimen-based Records of the Red-striped Hogfish (Perciformes: Labridae), *Bodianus opercularis*, from the Pacific Ocean, with an Assessment of the Species' Distributional Records. Bull. Kanagawa Pref. Mus. (Nat. Sci.), (52): 59–71.]

これまで紅海とアラビア海を含むインド洋の固有種と考えられていたベラ科タキベラ属魚類 *Bodianus opercularis* (Guichenot, 1847) に同定される2標本 (標準体長 20.2–44.5 mm) が小笠原諸島から得られた。これらは本種の標本に基づく太平洋における初記録となるため、詳細な記載とともにここに報告する。本研究ではこのうちの1標本 (KPM-NI 7936、標準体長 45.5 mm) に基づき、本種に対して新標準和名「アカシマタキベラ」を提唱する。

本研究ではアカシマタキベラと、本種と異所的に生息する近縁種と考えられていた西太平洋固有のタキベラ属魚類である *Bodianus neopercularis* Gomon, 2006 の分布記録を再検討した。その結果、アカシマタキベラはインド–西太平洋の広域に分布し、インド洋においては紅海およびアラビア海、ケニア、コモロ諸島、マダガスカル、マスカレン諸島西部、クリスマス島、西太平洋においては日本とマーシャル諸島に分布することが明らかになった。その一方で *B. neopercularis* の正確な分布記録はマーシャル諸島に限られることが明らかとなった。